

# Extraction et reconnaissance de primitives dans les façades de Paris à l'aide de similarités de graphes

HAUGEARD Jean-Emmanuel

ETIS - CNRS - ENSEA - Université Cergy-Pontoise

Directrice de thèse : Sylvie Philipp-Foliguet

Co-Directeurs de thèse : Frédéric Precioso et Philippe-Henri Gosselin

17 décembre 2010



Projet financé par l'Agence nationale de la recherche

iTowns : image-based Town On-line Web Navigation and Searchengine.

- 5 partenaires (IGN, LIP6, ETIS, LCPC - LRPC , ARMINES)

## iTowns

2 objectifs :

- naviguer de manière fluide dans un flux d'images panoramiques
- construire à partir des images un système d'information basé sur le contenu



# Naviguer de manière fluide dans un flux d'images panoramiques

- un Teraoctet de données
- 12ème arrondissement de Paris
- 25000 vues panoramiques
- camion avec 12 caméras et 3 lasers



11



12



21



22



23



31



32



33



34



41



42



43

## Construire un système d'information basé sur le contenu



## Les contours [SHOTTON 05, OPELT 06]

Pouvez-vous identifier les objets présents dans ces deux images de contours ?



# Plan

- 1 Extraction des fenêtres dans les images de façades
  - Etat de l'art
  - Notre démarche
  - Résultats
- 2 Graphe relationnel attribué de contours et similarités sur graphes
  - Représentation graphes de contours
  - Attributs sur sommets et arêtes
- 3 Noyau sur graphes de contours
  - Noyau sur chemins
  - Complexité de calcul
- 4 Localisation des fenêtres dans les façades à l'aide des graphes

# Plan

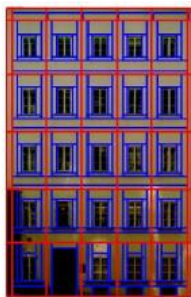
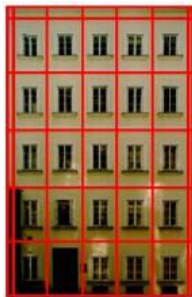
- 1 Extraction des fenêtres dans les images de façades
  - Etat de l'art
  - Notre démarche
  - Résultats
- 2 Graphe relationnel attribué de contours et similarités sur graphes
  - Représentation graphes de contours
  - Attributs sur sommets et arêtes
- 3 Noyau sur graphes de contours
  - Noyau sur chemins
  - Complexité de calcul
- 4 Localisation des fenêtres dans les façades à l'aide des graphes

# Extraction des fenêtres : Etat de l'art [MULLER 07, MAYER 07, MOSLAH 10]

Modélisation grossière des bâtiments : besoin d'améliorer la visualisation et le contenu des façades

Analyse d'une façade :

- Symétrie dans les façades
- Géométrie des entités architecturales



## Histogramme des projections du gradient [Lee et Nevatia 04]

- Calcul des composantes verticales et horizontales du gradient (Shen-Castan)
- Projection horizontale et verticale
- Seuillage

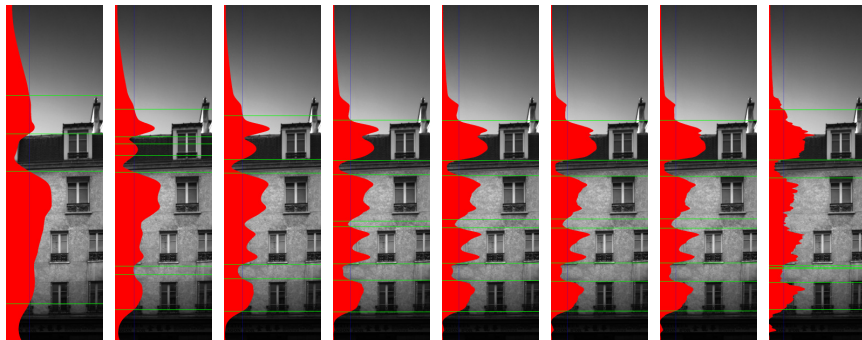


### REMARQUE

Méthode efficace sur des façades sans texture, avec des fenêtres bien alignées et de même intensité lumineuse. Les résultats dépendent du paramètre de lissage et de dérivation  $\beta$  de l'algorithme de Shen-Castan [HUET 97].

# Notre démarche

Automatiser le paramètre de lissage et travailler étage par étage.



(a)  $\beta = 0.01$

(b) 0.02

(c) 0.03

(d) 0.05

(e) 0.07

(f) 0.09

(g) 0.1

(h) 0.3

# Algorithme

Soit  $I$  l'image originale :

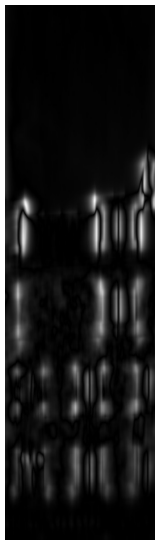
- Initialisation : lissage fort donc  $\beta$  faible
- Tant que  $\beta < \text{seuil}$ 
  - Calcul de la composante horizontale du gradient
  - Projection de la norme
  - Seuillage et découpe en étage
  - Calcul d'un score
  - J'augmente  $\beta$
- Je choisis  $\beta$  qui maximise mon score
- Pour chaque étage, je calcule la composante verticale avec le même  $\beta$  du gradient, je projette sur x et cherche les bassins.



# Algorithme

Soit  $I$  l'image originale :

- Initialisation : lissage fort donc  $\beta$  faible
- Tant que  $\beta < \text{seuil}$ 
  - Calcul de la composante horizontale du gradient
    - Projection de la norme
    - Seuillage et découpe en étage
    - Calcul d'un score
    - J'augmente  $\beta$
- Je choisis  $\beta$  qui maximise mon score
- Pour chaque étage, je calcule la composante verticale avec le même  $\beta$  du gradient, je projette sur  $x$  et cherche les bassins.



# Algorithme

Soit  $I$  l'image originale :

- Initialisation : lissage fort donc  $\beta$  faible
- Tant que  $\beta < \text{seuil}$ 
  - Calcul de la composante horizontale du gradient
  - Projection de la norme
  - Seuillage et découpe en étage
    - Calcul d'un score
    - J'augmente  $\beta$
- Je choisis  $\beta$  qui maximise mon score
- Pour chaque étage, je calcule la composante verticale avec le même  $\beta$  du gradient, je projette sur x et cherche les bassins.



# Algorithme

Soit / l'image originale :

- Initialisation : lissage fort donc  $\beta$  faible
- Tant que  $\beta < \text{seuil}$ 
  - Calcul de la composante horizontale du gradient
  - Projection de la norme
  - Seuillage et découpe en étage
  - Calcul d'un score
  - J'augmente  $\beta$
- Je choisis  $\beta$  qui maximise mon score
- Pour chaque étage, je calcule la composante verticale avec le même  $\beta$  du gradient, je projette sur x et cherche les bassins.

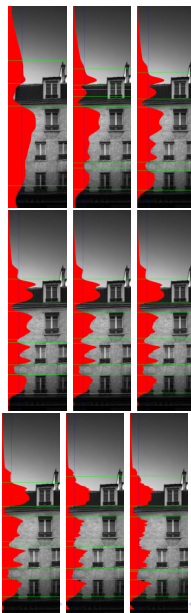
## CRITÈRE

$$S_{\beta_i} = \begin{cases} \underbrace{\frac{p_{\beta_{i-1}}}{p_{\beta_i}}}_{\text{Stabilité}} \cdot \frac{\overbrace{\sum_{j=1}^{p_{\beta_i}} \max H_{pj}}^{\text{Amplitude Moyenne des Pics}}}{p_{\beta_i}} & \text{si } p_{\beta_{i-1}} \\ \frac{\sum_{j=1}^{p_{\beta_i}} \max H_{pj}}{p_{\beta_{i-1}}} & \text{sinon} \end{cases} \quad (1)$$

# Algorithme

Soit  $I$  l'image originale :

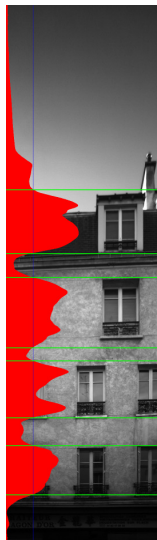
- Initialisation : lissage fort donc  $\beta$  faible
- Tant que  $\beta < \text{seuil}$ 
  - Calcul de la composante horizontale du gradient
  - Projection de la norme
  - Seuillage et découpe en étage
  - Calcul d'un score
  - J'augmente  $\beta$
- Je choisis  $\beta$  qui maximise mon score
- Pour chaque étage, je calcule la composante verticale avec le même  $\beta$  du gradient, je projette sur x et cherche les bassins.



# Algorithme

Soit  $I$  l'image originale :

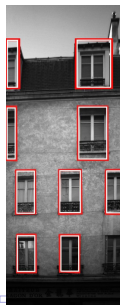
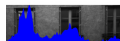
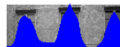
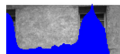
- Initialisation : lissage fort donc  $\beta$  faible
- Tant que  $\beta < \text{seuil}$ 
  - Calcul de la composante horizontale du gradient
  - Projection de la norme
  - Seuillage et découpe en étage
  - Calcul d'un score
  - J'augmente  $\beta$
- Je choisis  $\beta$  qui maximise mon score
- Pour chaque étage, je calcule la composante verticale avec le même  $\beta$  du gradient, je projette sur  $x$  et cherche les bassins.



# Algorithme

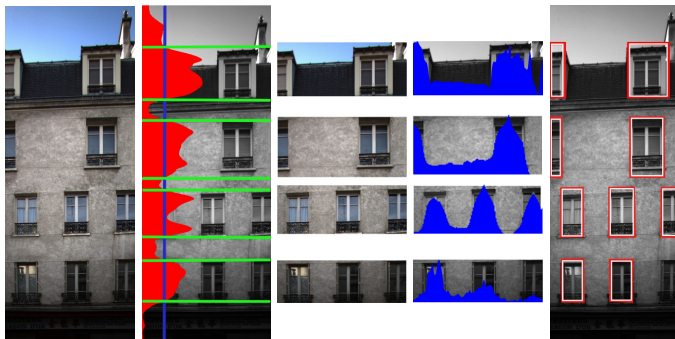
Soit  $I$  l'image originale :

- Initialisation : lissage fort donc  $\beta$  faible
- Tant que  $\beta < \text{seuil}$ 
  - Calcul de la composante horizontale du gradient
  - Projection de la norme
  - Seuillage et découpe en étage
  - Calcul d'un score
  - J'augmente  $\beta$
- Je choisis  $\beta$  qui maximise mon score
- Pour chaque étage, je calcule la composante verticale avec le même  $\beta$  du gradient, je projette sur x et cherche les bassins.



# Bilan : Histogramme des projections du gradient

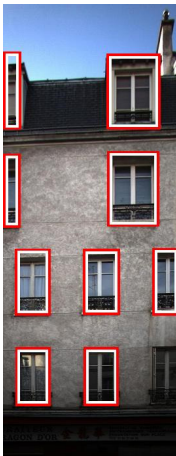
Résumé :



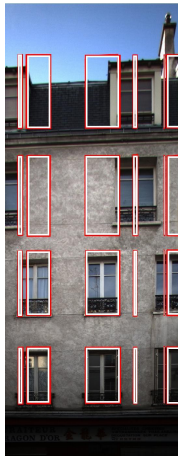
# Histogramme des projections du gradient

Apports :

- Relaxation sur la contrainte verticale (alignement des fenêtres)
- Automatiser l'extraction en déterminant la bonne échelle



(i) Notre algorithme



(j) Lee

## Histogramme des projections du gradient

Apports :

- Relaxation sur la contrainte verticale (alignement des fenêtres)
- Automatiser l'extraction en déterminant la bonne échelle



(a) Notre algorithme



(b) Lee

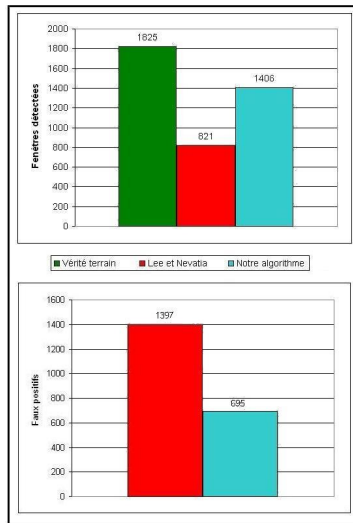
**FIGURE: Extraction des hypothèses de fenêtres.**

# Comparaison de notre algorithme par rapport à celui de Lee et Nevatia

Test sur une base de 169 façades  
(rue Saint Antoine)

## Nos résultats

- une meilleure détection
- moins de faux positifs



# Plan

- 1 Extraction des fenêtres dans les images de façades
  - Etat de l'art
  - Notre démarche
  - Résultats
- 2 Graphe relationnel attribué de contours et similarités sur graphes
  - Représentation graphes de contours
  - **Attributs sur sommets et arêtes**
- 3 Noyau sur graphes de contours
  - Noyau sur chemins
  - Complexité de calcul
- 4 Localisation des fenêtres dans les façades à l'aide des graphes

# Notre représentation en graphes de contours : extraction des contours principaux

Soit / l'image originale :

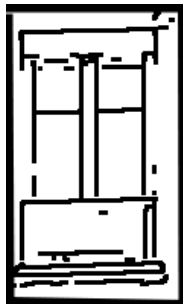
- Recherche des contours par la méthode de Shen-Castan
  - Lissage
  - Calcul du gradient en chaque point de l'image
  - Extraction des maxima locaux
- Binarisation
- Polygonalisation et suppression des coins
- Recherche des régions d'influence (Voronoi)



# Notre représentation en graphes de contours : extraction des contours principaux

Soit / l'image originale :

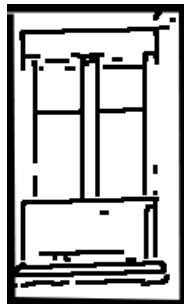
- Recherche des contours par la méthode de Shen-Castan
  - Lissage
  - Calcul du gradient en chaque point de l'image
  - Extraction des maxima locaux
- Binarisation
- Polygonalisation et suppression des coins
- Recherche des régions d'influence (Voronoi)



# Notre représentation en graphes de contours : extraction des contours principaux

Soit / l'image originale :

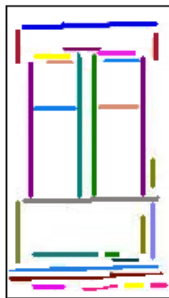
- Recherche des contours par la méthode de Shen-Castan
  - Lissage
  - Calcul du gradient en chaque point de l'image
  - Extraction des maxima locaux
- Binarisation
- Polygonalisation et suppression des coins
- Recherche des régions d'influence (Voronoi)



# Notre représentation en graphes de contours : extraction des contours principaux

Soit / l'image originale :

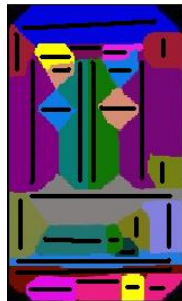
- Recherche des contours par la méthode de Shen-Castan
  - Lissage
  - Calcul du gradient en chaque point de l'image
  - Extraction des maxima locaux
- Binarisation
- Polygonalisation et suppression des coins
- Recherche des régions d'influence (Voronoi)



# Notre représentation en graphes de contours : extraction des contours principaux

Soit / l'image originale :

- Recherche des contours par la méthode de Shen-Castan
  - Lissage
  - Calcul du gradient en chaque point de l'image
  - Extraction des maxima locaux
- Binarisation
- Polygonalisation et suppression des coins
- Recherche des régions d'influence (Voronoi)



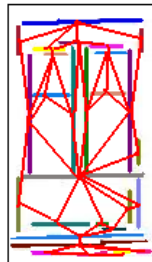
# Graphes de contours : attributs sur sommets et arêtes

## IDEE : graphe relationnel de contours

- Sommets représentent les segments de contours
- Arêtes modélisent la relation entre régions adjacentes

Soit  $G$  le graphe de contours :

- Chaque segment est représenté par son orientation :  $\Theta \in [0, 180[$
- Chaque segment est "relié" par un arc à chacun des contours les plus proches



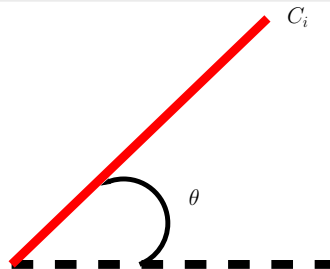
# Graphes de contours : attributs sur sommets et arêtes

## IDEE : graphe relationnel de contours

- Sommets représentent les segments de contours
- Arêtes modélisent la relation entre régions adjacentes

Soit  $G$  le graphe de contours :

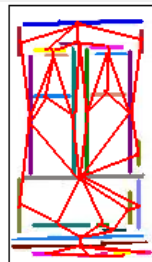
- Chaque segment est représenté par son orientation :  $\Theta \in [0, 180[$
- Chaque segment est "relié" par un arc à chacun des contours les plus proches



# Graphes de contours : attributs sur sommets et arêtes

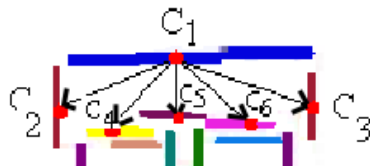
## IDEE : graphe relationnel de contours

- Sommets représentent les segments de contours
- Arêtes modélisent la relation entre régions adjacentes

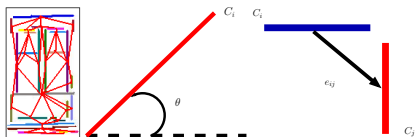


Soit  $G$  le graphe de contours :

- Chaque segment est représenté par son orientation :  $\Theta \in [0, 180[$
- Chaque segment est "relié" par un arc à chacun des contours les plus proches



# Graphes de contours : attributs sur sommets et arêtes



## Grphe relationnel de contours

- Sommet représente un segment

$$\vec{v} = \begin{pmatrix} \cos(2\Theta) \\ \sin(2\Theta) \end{pmatrix}$$

avec  $\Theta$  l'angle entre le contour et l'axe horizontal

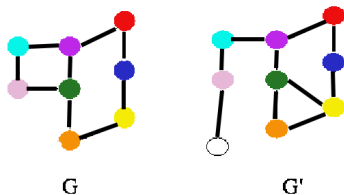
- Arc modélise la relation entre les centres de gravité des segments voisins ( $C_i$  et  $C_j$ )

$$\vec{e}_{ij} = \begin{pmatrix} Xg_{C_j} - Xg_{C_i} \\ Yg_{C_j} - Yg_{C_i} \end{pmatrix}$$

# Plan

- 1 Extraction des fenêtres dans les images de façades
  - Etat de l'art
  - Notre démarche
  - Résultats
- 2 Graphe relationnel attribué de contours et similarités sur graphes
  - Représentation graphes de contours
  - Attributs sur sommets et arêtes
- 3 **Noyau sur graphes de contours**
  - Noyau sur chemins
  - Complexité de calcul
- 4 Localisation des fenêtres dans les façades à l'aide des graphes

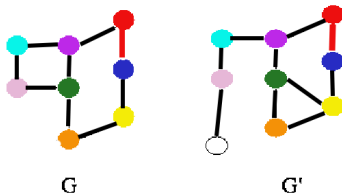
# Graphe relationnel attribué de contours : Noyau sur graphes



Comment comparer deux graphes entre eux ?

- graphe non isomorphe
- graphe de grande taille (20 à 100 sommets)
- graphe valué sur les sommets et arcs
- recherche de similarités entre chemin du graphes

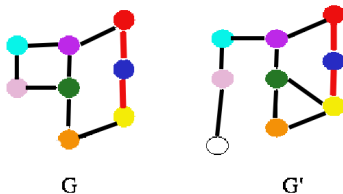
# Graphe relationnel attribué de contours : Noyau sur graphes



Comment comparer deux graphes entre eux ?

- graphe non isomorphe
- graphe de grande taille (20 à 100 sommets)
- graphe valué sur les sommets et arcs
- recherche de similarités entre chemin du graphes

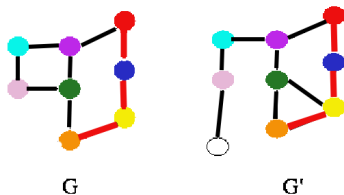
# Graphe relationnel attribué de contours : Noyau sur graphes



Comment comparer deux graphes entre eux ?

- graphe non isomorphe
- graphe de grande taille (20 à 100 sommets)
- graphe valué sur les sommets et arcs
- recherche de similarités entre chemin du graphes

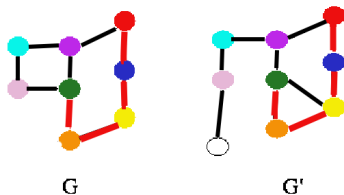
# Grphe relationnel attribué de contours : Noyau sur graphes



Comment comparer deux graphes entre eux ?

- graphe non isomorphe
- graphe de grande taille (20 à 100 sommets)
- graphe valué sur les sommets et arcs
- recherche de similarités entre chemin du graphes

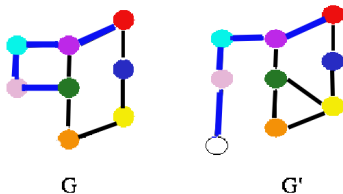
# Grphe relationnel attribué de contours : Noyau sur graphes



Comment comparer deux graphes entre eux ?

- graphe non isomorphe
- graphe de grande taille (20 à 100 sommets)
- graphe valué sur les sommets et arcs
- recherche de similarités entre chemin du graphes

# Graphe relationnel attribué de contours : Noyau sur graphes



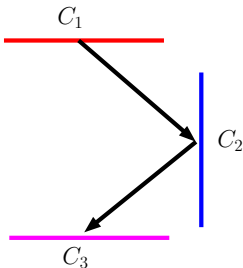
Comment comparer deux graphes entre eux ?

- graphe non isomorphe
- graphe de grande taille (20 à 100 sommets)
- graphe valué sur les sommets et arcs
- recherche de similarités entre chemin du graphes

# Graphe relationnel attribué de contours : Notations

## Notations

- $G = (V, E)$  Graphe  $G$  composé d'un ensemble  $V$  de sommets et d'un ensemble  $E$  d'arêtes.
- $h = (v_0, e_{01}, v_1, \dots, v_n)$  chemin  $h$  succession de sommets et d'arêtes.
- $|h|$  taille du chemin = nombre d'arêtes.
- $H(G)$  ensemble de chemins possibles.
- $h_{v_i}$  chemin débutant par le sommet  $v_i$



# Grphe relationnel attribué de contours : Noyau sur graphes [KASHIMA 04],[SUARD 06],[LEBRUN 08]

- Graphes sur molécules [KASHIMA 04]

$$K_{Kashima}(G, G') = \sum_{h \in H(G)} \sum_{\substack{h' \in H(G') \\ |h'|=|h|}} K_C(h, h') p(h|G) p(h'|G')$$

avec  $K_C$  un noyau sur chemins.

- Graphes sur points particuliers du squelette de l'objet [SUARD 06]

$$K_{Suard}(G, G') = \frac{1}{2} \left( \sum_{h \in H(G)} \max_{\substack{h' \in H(G') \\ |h'|=|h|}} K_C(h, h') + \sum_{h' \in H(G')} \max_{\substack{h \in H(G) \\ |h|=|h'|}} K_C(h, h') \right)$$

- Graphes sur régions floues [LEBRUN 08]

## Grphe relationnel attribué de contours : Noyau sur graphes [Lebrun], [Gosselin], [Suard], [Kashima]

Soient  $G, G'$  deux graphes de contours,  $h_{v_i}$  chemin commençant par le sommet  $v_i$ .

Notre similarité est basée sur le noyau suivant :

$$\begin{aligned}
 K_{struct}(G, G') &= \frac{1}{|V|} \sum_{i=1}^{|V|} \max_{\substack{h' \in H(G') \\ h_{v_i} \in H_{v_i}(G) \\ |h'| = |h_{v_i}|}} K_C(h_{v_i}, h') \\
 &+ \frac{1}{|V'|} \sum_{i=1}^{|V'|} \max_{\substack{h \in H(G) \\ h'_{v'_i} \in H_{v'_i}(G') \\ |h| = |h'_{v'_i}|}} K_C(h, h'_{v'_i}). \tag{1}
 \end{aligned}$$

avec  $K_C$  un noyau sur chemins.

### Remarques

Ce noyau est indéfini mais bien adapté à l'algorithme de "séparation et évaluation".

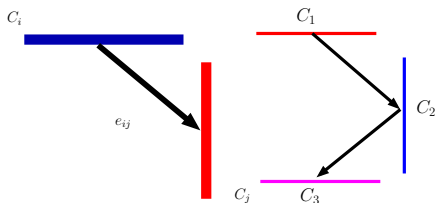
## Noyau sur chemins

Noyau sur chemins proposé entre  $h_{v_i} \in G$  et  $h' \in G'$  :

$$K_C(h_{v_i}, h') = K_V(v_i, v'_0) + \sum_{j=1}^{|h|} S_{e_j, e'_j} O_{j,j-1} K_e(e_j, e'_j) K_V(v_j, v'_j). \quad (2)$$

avec :

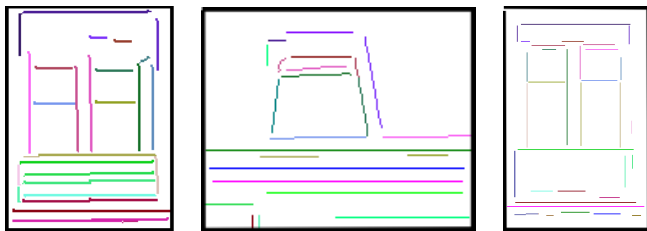
- noyau sur sommets :  $K_V(v_j, v'_j) = \frac{\langle v_j, v'_j \rangle}{\|v_j\| \cdot \|v'_j\|} + 1.$
- noyau sur arêtes :  $K_e(e_j, e'_j) = \frac{\langle e_j, e'_j \rangle}{\|e_j\| \cdot \|e'_j\|} + 1.$



# Pondération orientation

## Problème

Eviter de choisir les chemins ne possédant que des contours dans la même orientation : effet "contours parallèles"



$$O_{i,j} = \sin(\phi_{ij}) \times \sin(\phi'_{ij}) = \sqrt{\frac{1}{2}(1 - \langle v_i, v_j \rangle)} \times \sqrt{\frac{1}{2}(1 - \langle v'_i, v'_j \rangle)}.$$

avec  $\phi_{ij}$  (respectivement  $\phi'_{ij}$ ) l'angle entre les sommets  $i$  et  $j$  dans  $G$  ( $G'$ ).

# Pondération d'échelle

## Problème

Réaliser le meilleur groupement perceptuel.

Ne pas choisir un contour trop éloigné de la structure de l'objet.

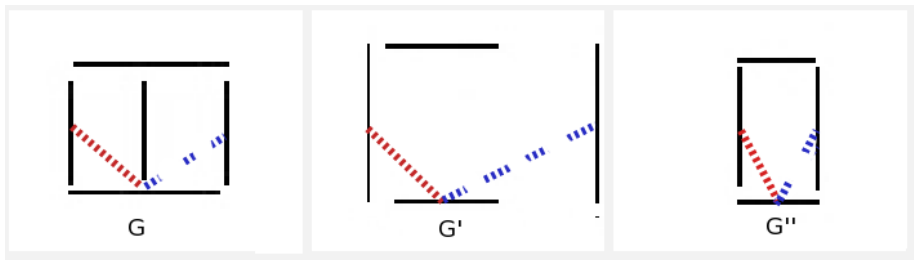


FIGURE: Exemple : structure et problème d'échelle. Le segment de contour sur la droite du graphe  $G'$  est-t-il un contour de l'objet cherché ou non ?

$$S_{e_i e'_i} = \min_{\substack{e_i \in h \\ e'_i \in h'}} \left( \frac{\frac{\|e_{i-1}\|}{\|e'_{i-1}\|}}{\frac{\|e_i\|}{\|e'_i\|}} \right)$$

## Evaluations : classifications des hypothèses de fenêtres

220 imagettes extraites par l'algorithme précédent :

- 70 fenêtres
- 150 faux-positifs

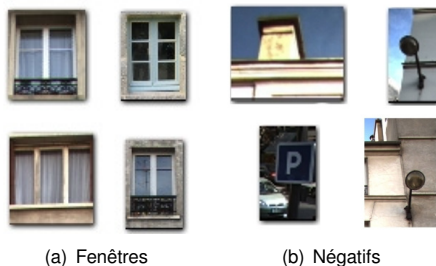
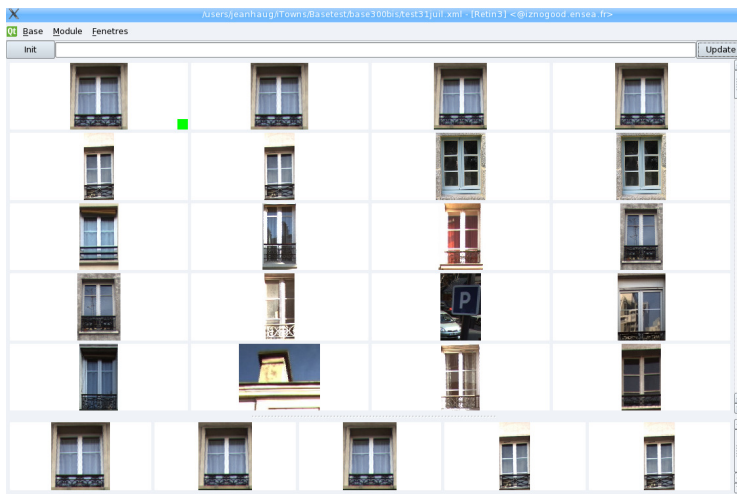


FIGURE: Exemples d'hypothèses de notre base : 70 fenêtres et 150 négatifs

La matrice de Gram est définie positive sur l'ensemble des données de la base.

# Recherche interactive : RETIN



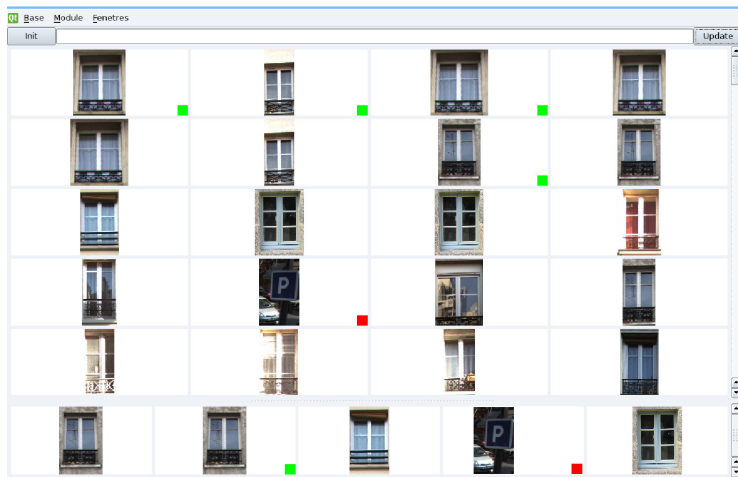
**FIGURE:** Exemple d'une session de recherche. L'image en haut à gauche avec un petit carré vert est l'image annotée positivement, et les images qui suivent sont ses plus proches voisines. Le classement est fait de gauche à droite puis de haut en bas.

# Recherche interactive : RETIN



FIGURE: Classement après une itération avec 3 labels positifs pour affiner la recherche.

# Recherche interactive : RETIN



**FIGURE:** Annotations suite au classement précédent. Nous annotons les éléments les plus pertinents sélectionnés par le système.

# Recherche interactive : RETIN

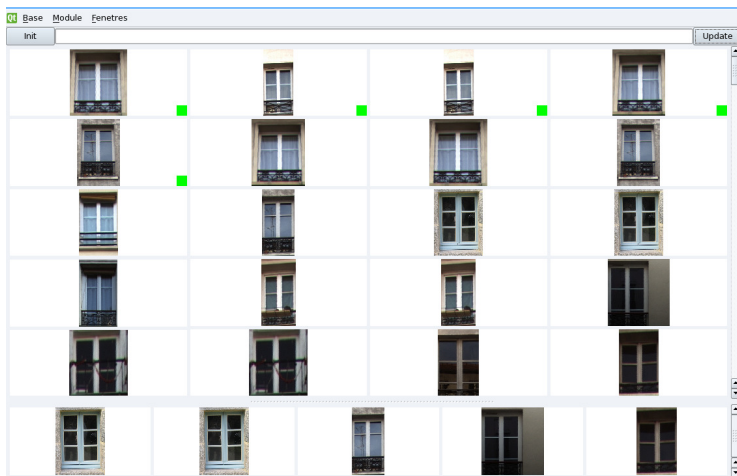
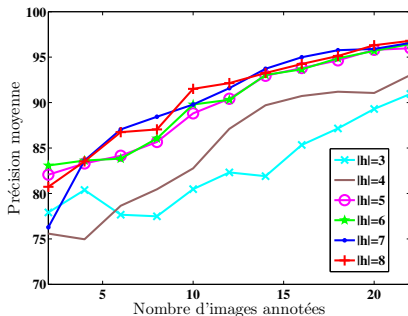


FIGURE: Résultats après 4 itérations : 5 images annotées positivement et 4 négativement.

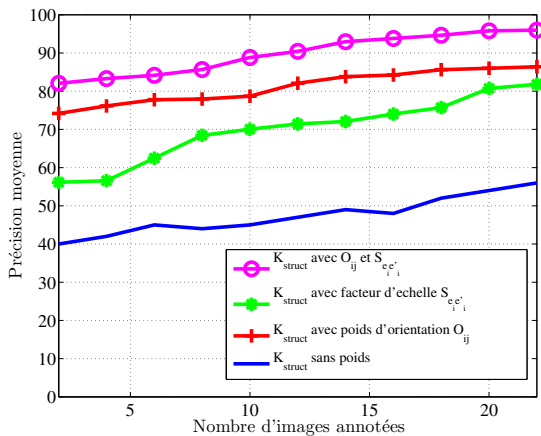
# Evaluation de la taille des chemins



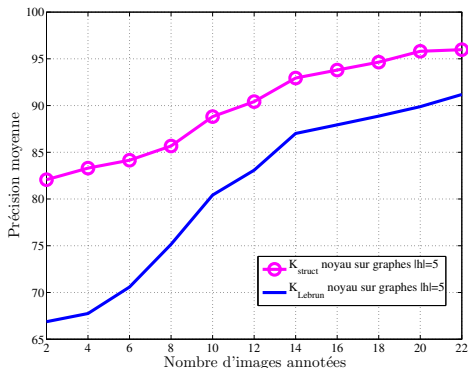
Longueur	3	4	5	6	7	8
Temps moyen (millisecondes)	55	61	67	77	84	94

TABLE: Temps de calcul moyen (en millisecondes) pour calculer la similarité entre un graphe  $G$  de 30 contours et un autre graphe, pour différentes longueurs de chemins.

# Evaluation des pondérations ( $|h| = 5$ )



# Comparaison avec le noyau sur chemins de Lebrun



$$K_{\text{Lebrun}}(G, G') = \frac{1}{|V|} \sum_{i=1}^{|V|} \max_{\substack{h_{v_i} \in H_{v_i}(G) \\ h'_{s(v_i)} \in H_{s(v_i)}(G') \\ |h_{v_i}| = |h'_{s(v_i)}|}} K_C(h_{v_i}, h'_{s(v_i)}) + \frac{1}{|V'|} \sum_{i=1}^{|V'|} \max_{\substack{h_{s(v'_i)} \in H_{s(v'_i)}(G) \\ h'_{v'_i} \in H_{v'_i}(G') \\ |h_{s(v'_i)}| = |h'_{v'_i}|}} K_C(h_{s(v'_i)}, h'_{v'_i}).$$

# Complexité de calcul

- Arbre de recherche et algorithme d'"évaluation et séparation"
  - Avantage de ne pas explorer l'ensemble de l'arbre de recherche
- Dictionnaire de chemins et noyau incrémental
  - Réduire le nombre de chemins à comparer
  - Calcul incrémental
  - Concevoir des noyaux de Mercer

## Théorie [GOSSELIN 11]

Soit un dictionnaire de chemins :  $D_L = \{\mathbf{h}_l\}_{l \in [1, L]}$  de chemins  $\mathbf{h}_l$

Noyau sur dictionnaire entre deux graphes  $G_i$  et  $G_j$  :

$$K_L(G_i, G_j) = S \left( \sum_{l=1}^L k_{\mathbf{h}_l}(G_i, G_j) \right)$$

Le calcul incrémental devient :

$$K_{L+1}(G_i, G_j) = S \left( \sum_{l=1}^L k_{\mathbf{h}_l}(G_i, G_j) + k_{\mathbf{h}_{L+1}}(G_i, G_j) \right)$$

Le noyau mineur :

$$k_{\mathbf{h}_l}(G_i, G_j) = -\delta(e_{\mathbf{h}_l}(G_i), e_{\mathbf{h}_l}(G_j))$$

avec  $e_{\mathbf{h}_l}$  une fonction d'évaluation

## Notre cas : dictionnaire de contours

La fonction d'évaluation choisie

$$e_{\mathbf{h}_l}(G_i) = \max_{\mathbf{h} \in G_i} K_C(\mathbf{h}_l, \mathbf{h})$$

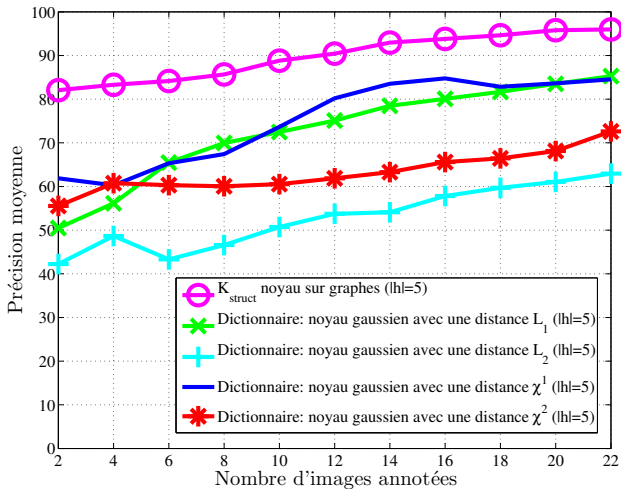
- Noyau triangulaire

$$\begin{aligned} K_L^{Tri}(G_i, G_j) &= \sum_{l=1}^L k_{\mathbf{h}_l}(G_i, G_j) \\ &= - \sum_l \delta(e_{\mathbf{h}_l}(G_i), e_{\mathbf{h}_l}(G_j)) \\ &= -d(\mathbf{x}_i, \mathbf{x}_j) \end{aligned}$$

- Noyau gaussien

$$\begin{aligned} K_L^{Gau}(G_i, G_j) &= \exp\left(\frac{1}{2\sigma^2} \sum_{l=1}^L k_{\mathbf{h}_l}(G_i, G_j)\right) \\ &= \exp\left(-\frac{1}{2\sigma^2} \sum_{l=1}^L \delta(e_{\mathbf{h}_l}(G_i), e_{\mathbf{h}_l}(G_j))\right) \\ &= \exp\left(-\frac{1}{2\sigma^2} d(\mathbf{x}_i, \mathbf{x}_j)\right) \end{aligned}$$

# Evaluation : dictionnaire de contours



## Evaluation : dictionnaire de contours

	Nombre de noeuds dans le graphe $G$			
	26	30	40	124
$K_{struct}$	28	68	132	362
Dictionnaire avec noyau triangulaire	3	4	6	34
Dictionnaire avec noyau gaussien	4	5	8	37

**TABLE:** Temps de calcul moyen (en millisecondes) pour le calcul de similarité de graphes entre un graphe  $G$  et un autre graphe pour des chemins de taille  $|h| = 5$ .

# Plan

- 1 Extraction des fenêtres dans les images de façades
  - Etat de l'art
  - Notre démarche
  - Résultats
- 2 Graphe relationnel attribué de contours et similarités sur graphes
  - Représentation graphes de contours
  - Attributs sur sommets et arêtes
- 3 Noyau sur graphes de contours
  - Noyau sur chemins
  - Complexité de calcul
- 4 Localisation des fenêtres dans les façades à l'aide des graphes

## Localisation à l'aide des contours

Comparaison d'un graphe  $G$  de fenêtre et d'un graphe  $G'$  d'une façade,  $K_{struct}$  est-il toujours pertinent ?

$$\begin{aligned}
 K_{struct}(G, G') &= \frac{1}{|V|} \sum_{i=1}^{|V|} \max_{\substack{h' \in H(G') \\ h_{v_i} \in H_{v_i}(G) \\ |h'| = |h_{v_i}|}} K_C(h_{v_i}, h') \\
 &+ \frac{1}{|V'|} \sum_{i=1}^{|V'|} \max_{\substack{h \in H(G) \\ h'_{v'_i} \in H_{v'_i}(G') \\ |h| = |h'_{v'_i}|}} K_C(h, h'_{v'_i}).
 \end{aligned}$$

Nous redéfinissons une autre similarité non symétrique :

$$S_{struct} = \frac{1}{|V|} \sum_{i=1}^{|V|} \max_{\substack{h' \in H(G') \\ h_{v_i} \in H_{v_i}(G) \\ |h'| = |h_{v_i}|}} S_C(h_{v_i}, h').$$

avec  $S_C(h_{v_i}, h') = K_V(v_i, v'_0) + \sum_{|h|} S_{e_j e'_j} O_{j,j-1} K_e(e_j, e'_j) K_V(v_j, v'_j)$

## Localisation à l'aide des contours

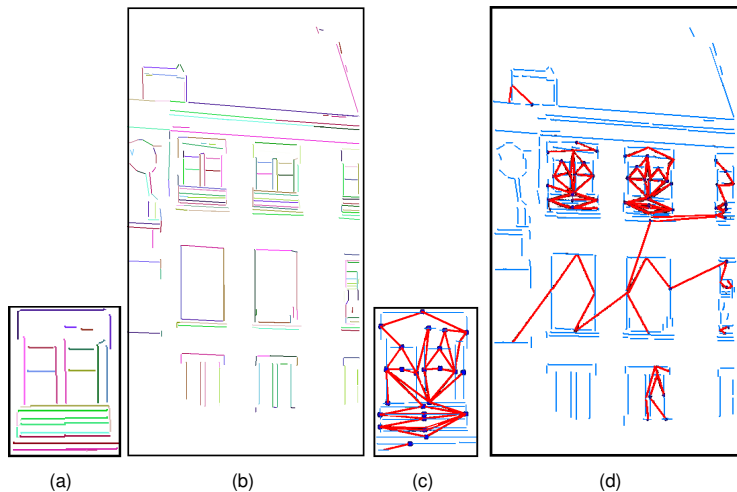


FIGURE: Les meilleurs appariements.

## Localisation à l'aide des contours

Nous avons besoin de plus de chemins, la similarité devient :

$$S_{struct}(G, G') = \frac{1}{n_a} \sum_{i=1}^{|V|} \sum_{\substack{|h|=l \\ |h|=3}} \max_{h_{v_i}, h'} S_C(h_{v_i}, h')$$

## Similarités des façades par rapport à une requête





## Vote des régions d'intérêt

$$\begin{aligned}
 J_{G,G'}(x,y) &= \sum_{i=1}^{|V|} J_{h_{v_i}, h'}(x,y) \\
 &= \sum_{i=1}^{|V|} S_C(h_{v_i}, h')
 \end{aligned}$$



## Localisation à l'aide d'une approche contours puis régions

Utiliser les régions pour mieux **discriminer les mauvais appariements**.

La similarité devient :

$$S_{struct}(G, G') = \frac{1}{n_a} \sum_{i=1}^{|V|} \sum_{\substack{|h|=l \\ |h|=3}} S_R(B_{h_{v_i}}, B_{h'}) \max_{h_{v_i}, h'} S_C(h_{v_i}, h')$$

L'accumulation de votes devient :

$$J_{h_{v_i}, h'}(x, y) = S_R(B_{h_{v_i}}, B_{h'}) S_C(h_{v_i}, h')$$

# Similarités par rapport aux façades



## L'extraction des fenêtres



**FIGURE:** Accumulation des votes de régions d'intérêt sélectionnées sur la similarité chemins, puis combinées avec la similarité régions.

Les mauvais appariements sont moins importants qu'avec l'accumulation uniquement sur la similarité chemins.

## Localisation à l'aide d'une approche contours et régions

Utiliser les régions pour mieux **selectionner les chemins**.

La similarité devient :

$$S_{struct}(G, G') = \frac{1}{n_a} \sum_{i=1}^{|V|} \sum_{\substack{|h|=l \\ |h|=3}}^{|h|=l} \max_{h_{v_i}, h'} S_{C_{CheReg}}(h_{v_i}, h')$$

avec

$$\begin{aligned} S_{C_{CheReg}}(h_{v_i}, h') &= K_v(v_i, v'_0) \\ &+ \sum_{j=1}^{|h|} S_R(B_{h_{v_i}}, B_{h'_{v'_j}}) S_{e_i, e'_j} O_{j, j-1} K_e(e_j, e'_j) K_v(v_j, v'_j) \end{aligned}$$

L'accumulation de votes devient :

$$\begin{aligned} J_{G, G'}(x, y) &= \sum_{i=1}^{|V|} J_{h_{v_i}, h'}(x, y) \\ &= \sum_{i=1}^{|V|} S_{C_{CheReg}}(h_{v_i}, h') \end{aligned}$$

## Similarités par rapport aux façades



**FIGURE:** Une requête et les images retournées par ordre de similarité conjointe sur les contours et les régions.

## L'extraction des fenêtres

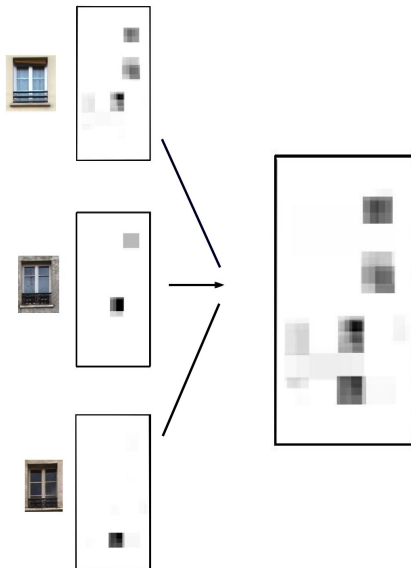


**FIGURE:** Accumulation des votes de régions d'intérêt sélectionnées sur la similarité combinant chemins et régions.

Le choix des régions d'intérêt devient plus pertinent.

# Apprentissage par k-ppv, Accumulation sur une ensemble d'apprentissage de 3 fenêtres

$$J_{G'}(x, y) = \frac{1}{k} \sum_{i=1}^k y_i J_{G_i, G'}(x, y)$$



## Conclusion

### Mise en place d'une chaîne de traitement :

- Détection : Extraire des fenêtres à l'aide d'un algorithme automatique
- Description : Décrire les objets géométriques par des graphes de contours
- Mise en place d'un noyau sur chemins et de similarité sur chemins
  - attributs
  - pondérations
  - combiner région et contours

### iTowns

- Mise en production sur la rue Saint Antoine de l'algorithme d'extraction
- Apprentissage sur un ensemble de fenêtres

### temps de calcul

- Utilisation de l'algorithme de "séparation et d'évaluation"
- Dictionnaire de chemins de segments

## Publications

- 3 conférences internationales : SCIA 09, ICIP 09, ICPR 10
- 1 conférence nationale : RFIA 10
- 1 article de journal soumis PRL

## Perspectives

- Généraliser à d'autres objets, modifier les pondérations et attributs
- Accélérer les temps de calcul
- Eliminer les chemins redondants dans le dictionnaire

# Extraction et reconnaissance de primitives dans les façades de Paris à l'aide de similarités de graphes

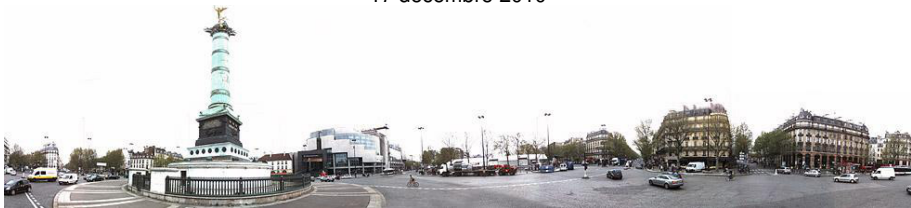
HAUGEARD Jean-Emmanuel

ETIS - CNRS - ENSEA - Université Cergy-Pontoise

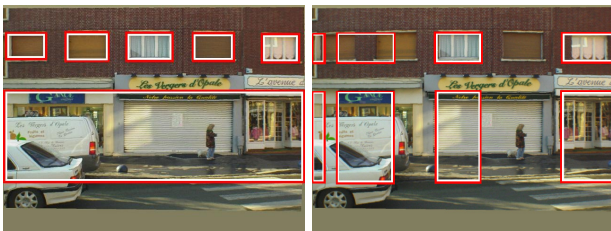
Directrice de thèse : Sylvie Philipp-Foliguet

Co-Directeurs de thèse : Frédéric Precioso et Philippe-Henri Gosselin

17 décembre 2010



# Limites

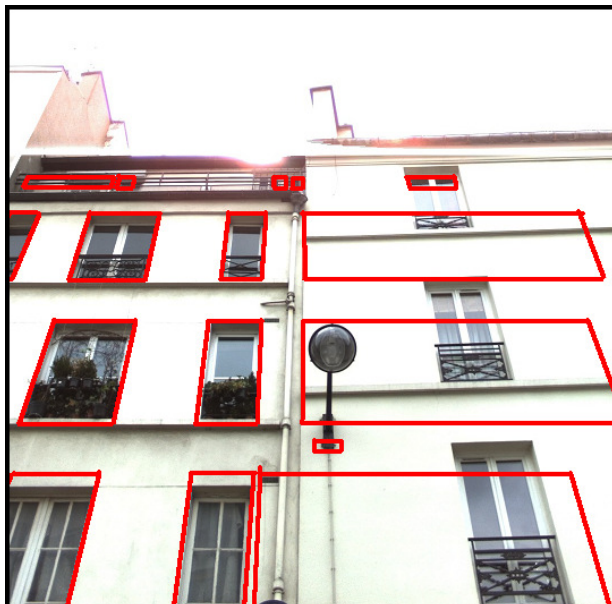


(a) Notre algorithme

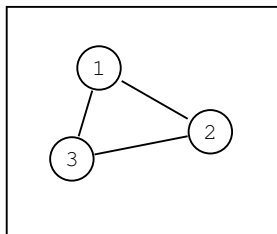
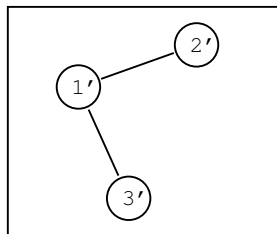
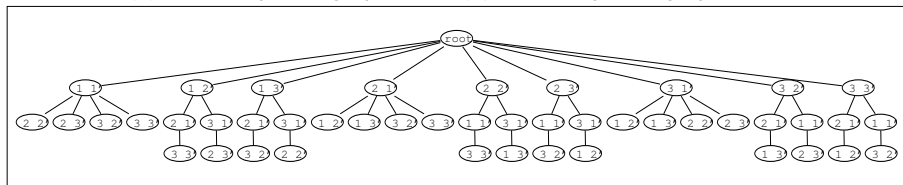
(b) Lee

**FIGURE: Extraction des hypothèses de fenêtres.** Nous constatons que la recherche des étages par notre algorithme permet de ne pas brouter la recherche des fenêtres sur les autres étages.

# Limites



# Implémentation : arbre de recherche

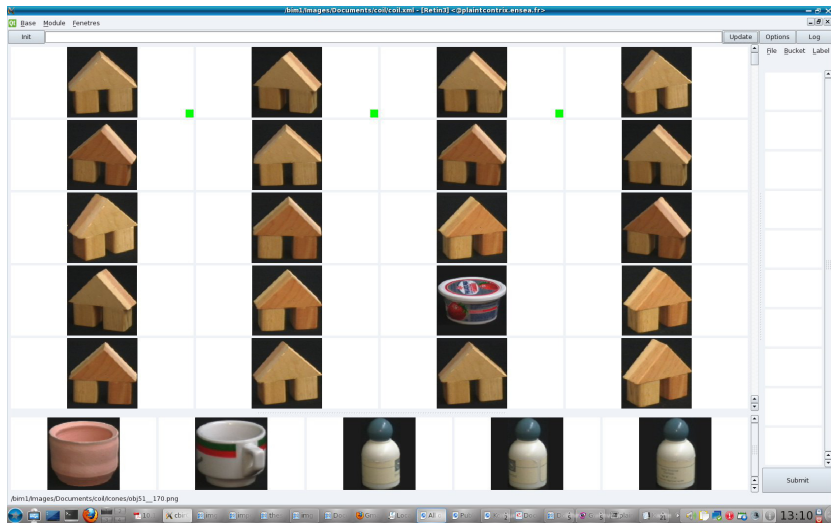
(a) Un exemple de graphe  $G$ (b) Un exemple de graphe  $G'$ 

(c) L'arbre de recherche correspondant, sans cycle et boucle.

**FIGURE: Un exemple d'arbre de recherche.** Chaque parcours depuis la racine vers une feuille est un appariement possible entre deux chemins de  $G$  et  $G'$ . Par exemple, le chemin correspondant à la comparaison des chemins (213) and ( $3'1'2'$ ) est  $(root) \rightarrow (23') \rightarrow (11') \rightarrow (32')$ .



## Objets géométriques



## Autres objets

Users\jeanhaug\Towns\Basetest\testVoiture2\voiture.xml : [imid]

Base Module Fenetres

Init Images Options

Base d'Images